

Eingabe: Farbmimetrisches Reflexions-System NCS11

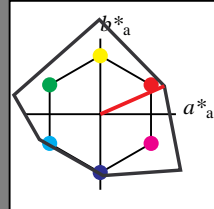
für Buntton $h^* = lab^*h = 24/360 = 0.066$

LAB*LCH, LAB*NCH

D65: Buntton R

LCH*Ma: 47 92 24

olv*Ma: 1.0 0.0 0.0



NCS11; adaptierte CIELAB-Daten

	$L^*=L_a^*$	a_a^*	b_a^*	$C_{ab,a}^*$	$h_{ab,a}^*$
R _{Ma}	47.15	84.64	37.25	92.48	24
J _{Ma}	91.37	-1.27	125.03	125.03	91
G _{Ma}	63.07	-114.28	25.35	117.06	167
G50B _{Ma}	59.47	-80.6	-33.45	87.28	203
B _{Ma}	49.01	3.65	-81.19	81.28	273
B50R _{Ma}	44.06	106.09	-73.93	129.32	325
N _{Ma}	10.99	0.0	0.0	0.0	0
W _{Ma}	95.41	0.0	0.0	0.0	0
R _{CIE}	39.92	58.69	27.98	65.01	25
J _{CIE}	81.26	-2.9	71.56	71.62	92
G _{CIE}	52.23	-42.45	13.59	44.59	162
B _{CIE}	30.57	1.35	-46.48	46.51	272

CIELAB-Helligkeit L^*

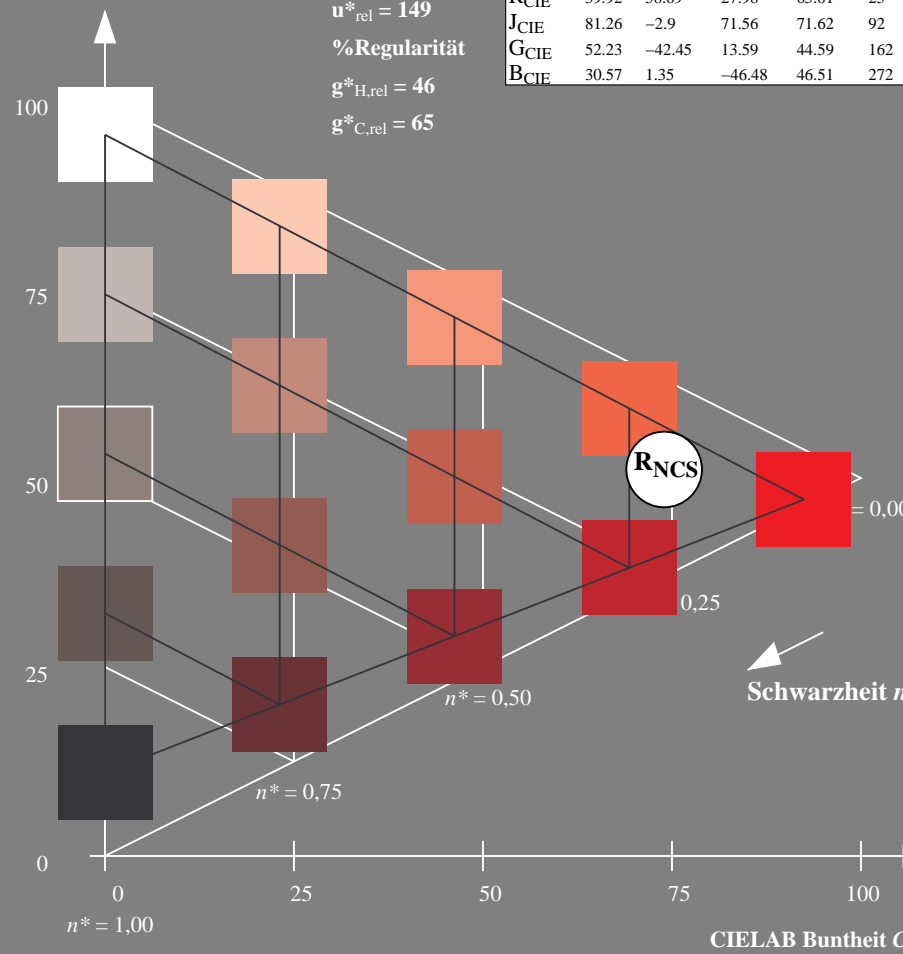
%Umfang

$u_{rel}^* = 149$

%Regularität

$g_{H,rel}^* = 46$

$g_{C,rel}^* = 65$



UG390-7, 5 stufige Reihen für konstanten CIELAB Buntton 24/360 = 0.066 (links)

Ausgabe: Farbmimetrisches Reflexions-System NCS11

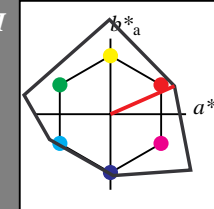
für Buntton $h^* = lab^*h = 24/360 = 0.066$

LAB*LCH, LAB*NCH

D65: Buntton R

LCH*Ma: 47 92 24

olv*Ma: 1.0 0.0 0.0



NCS11; adaptierte CIELAB-Daten

	$L^*=L_a^*$	a_a^*	b_a^*	$C_{ab,a}^*$	$h_{ab,a}^*$
R _{Ma}	47.15	84.64	37.25	92.48	24
J _{Ma}	91.37	-1.27	125.03	125.03	91
G _{Ma}	63.07	-114.28	25.35	117.06	167
G50B _{Ma}	59.47	-80.6	-33.45	87.28	203
B _{Ma}	49.01	3.65	-81.19	81.28	273
B50R _{Ma}	44.06	106.09	-73.93	129.32	325
N _{Ma}	10.99	0.0	0.0	0.0	0
W _{Ma}	95.41	0.0	0.0	0.0	0
R _{CIE}	39.92	58.69	27.98	65.01	25
J _{CIE}	81.26	-2.9	71.56	71.62	92
G _{CIE}	52.23	-42.45	13.59	44.59	162
B _{CIE}	30.57	1.35	-46.48	46.51	272

CIELAB-Helligkeit L^*

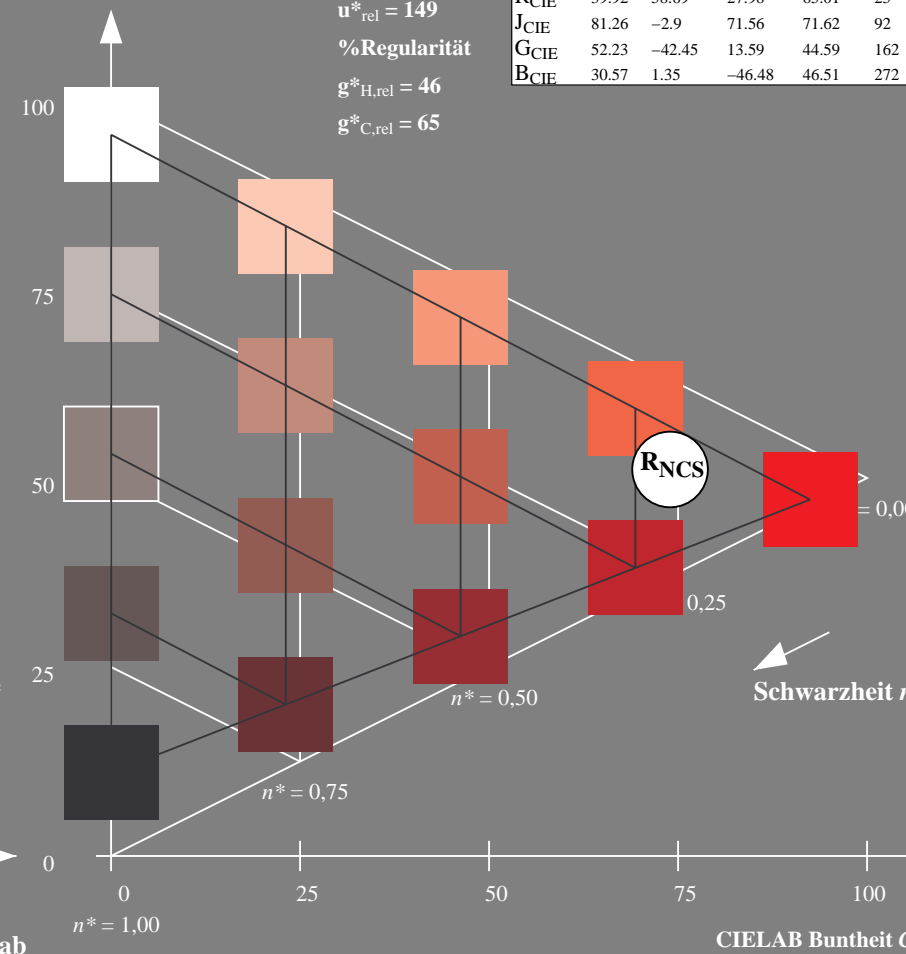
%Umfang

$u_{rel}^* = 149$

%Regularität

$g_{H,rel}^* = 46$

$g_{C,rel}^* = 65$



5 stufige Reihen für konstanten CIELAB Buntton 24/360 = 0.066 (rechts)

BAM-Prüfvorlage UG39; Farbmimetrische Systeme NCS11a & NCS11b

D65: Koordinaten-Systeme von 5stufigen Farbreihen für 10 Bunttonen

Input: cmy0* setcmykcolor

Output: no change compared to input

Eingabe: Farbmimetrisches Reflexions-System NCS11

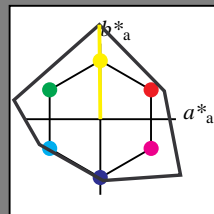
für Buntton $h^* = lab \cdot h = 91/360 = 0.252$

LAB*LCH, LAB*NCH

D65: Buntton J

LCH*Ma: 91 125 91

olv*Ma: 1.0 1.0 0.0



NCS11; adaptierte CIELAB-Daten

	$L^*=L^*_a$	a^*_a	b^*_a	$C^*_{ab,a}$	$h^*_{ab,a}$
R _{Ma}	47.15	84.64	37.25	92.48	24
J _{Ma}	91.37	-1.27	125.03	125.03	91
G _{Ma}	63.07	-114.28	25.35	117.06	167
G50B _{Ma}	59.47	-80.6	-33.45	87.28	203
B _{Ma}	49.01	3.65	-81.19	81.28	273
B50R _{Ma}	44.06	106.09	-73.93	129.32	325
N _{Ma}	10.99	0.0	0.0	0.0	0
W _{Ma}	95.41	0.0	0.0	0.0	0
R _{CIE}	39.92	58.69	27.98	65.01	25
J _{CIE}	81.26	-2.9	71.56	71.62	92
G _{CIE}	52.23	-42.45	13.59	44.59	162
B _{CIE}	30.57	1.35	-46.48	46.51	272

CIELAB-Helligkeit L^*

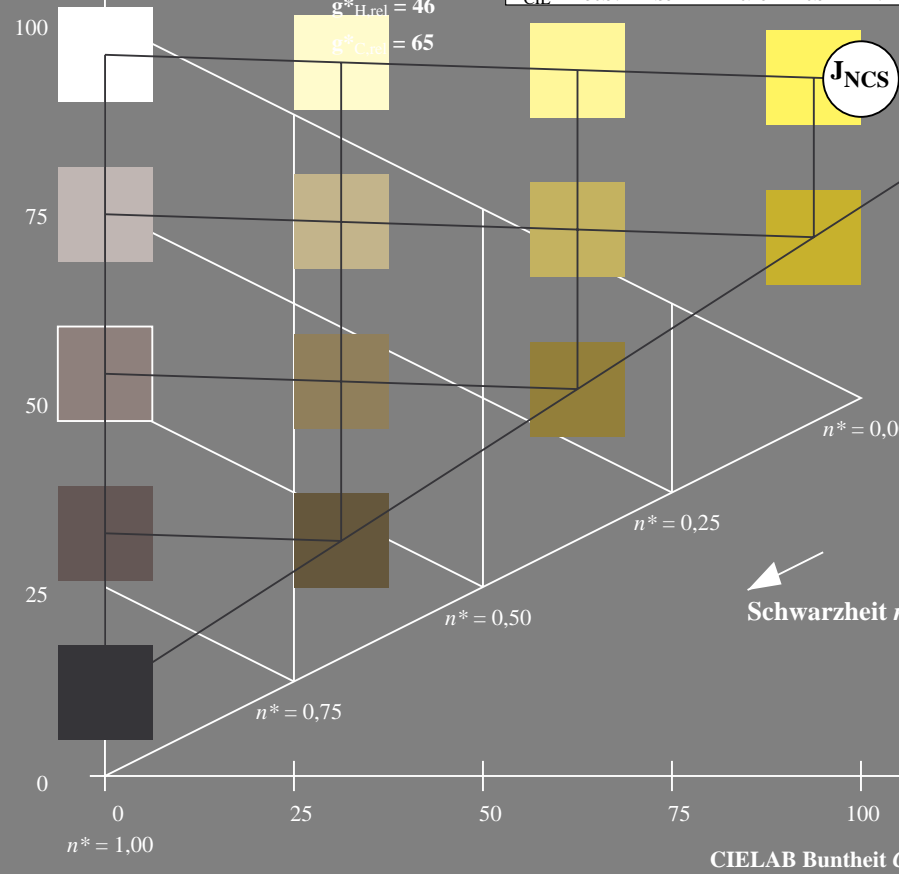
%Umfang

$u^*_{rel} = 149$

%Regularität

$g^*_{H,rel} = 46$

$g^*_{C,rel} = 65$



UG390-7, 5 stufige Reihen für konstanten CIELAB Buntton 91/360 = 0.252 (links)

Ausgabe: Farbmimetrisches Reflexions-System NCS11

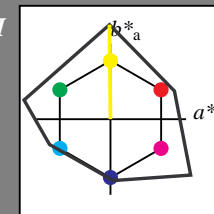
für Buntton $h^* = lab \cdot h = 91/360 = 0.252$

LAB*LCH, LAB*NCH

D65: Buntton J

LCH*Ma: 91 125 91

olv*Ma: 1.0 1.0 0.0



NCS11; adaptierte CIELAB-Daten

	$L^*=L^*_a$	a^*_a	b^*_a	$C^*_{ab,a}$	$h^*_{ab,a}$
R _{Ma}	47.15	84.64	37.25	92.48	24
J _{Ma}	91.37	-1.27	125.03	125.03	91
G _{Ma}	63.07	-114.28	25.35	117.06	167
G50B _{Ma}	59.47	-80.6	-33.45	87.28	203
B _{Ma}	49.01	3.65	-81.19	81.28	273
B50R _{Ma}	44.06	106.09	-73.93	129.32	325
N _{Ma}	10.99	0.0	0.0	0.0	0
W _{Ma}	95.41	0.0	0.0	0.0	0
R _{CIE}	39.92	58.69	27.98	65.01	25
J _{CIE}	81.26	-2.9	71.56	71.62	92
G _{CIE}	52.23	-42.45	13.59	44.59	162
B _{CIE}	30.57	1.35	-46.48	46.51	272

CIELAB-Helligkeit L^*

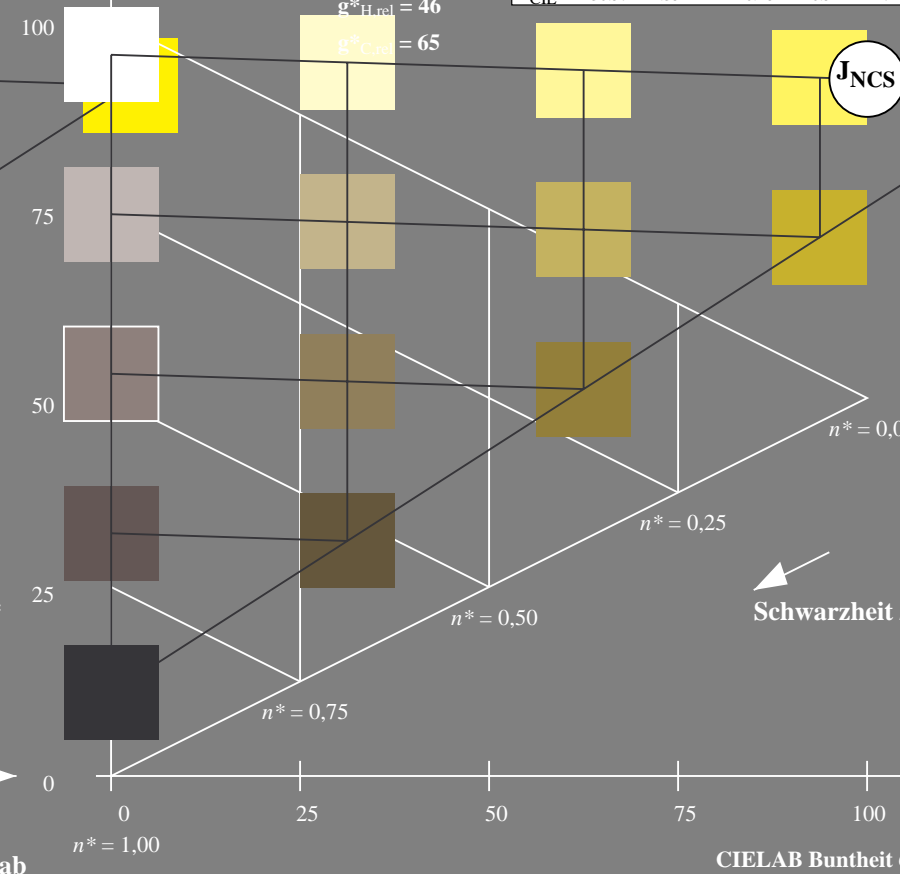
%Umfang

$u^*_{rel} = 149$

%Regularität

$g^*_{H,rel} = 46$

$g^*_{C,rel} = 65$



5 stufige Reihen für konstanten CIELAB Buntton 91/360 = 0.252 (rechts)

BAM-Prüfvorlage UG39; Farbmimetrik-Systeme NCS11a & NCS11

D65: Koordinaten-Systeme von 5stufigen Farbreihen für 10 Bunttonen

Input: $cmY0^* setcmykcolor$

Output: no change compared to input

Eingabe: Farbmimetrisches Reflexions-System NCS11

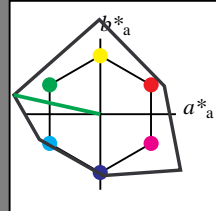
für Buntton $h^* = lab^*h = 167/360 = 0.465$

LAB*LCH, LAB*NCH

D65: Buntton G

LCH*Ma: 63 117 167

olv*Ma: 0.0 1.0 0.0



NCS11; adaptierte CIELAB-Daten

	$L^*=L^*_a$	a^*_a	b^*_a	$C^*_{ab,a}$	$h^*_{ab,a}$
R _{Ma}	47.15	84.64	37.25	92.48	24
J _{Ma}	91.37	-1.27	125.03	125.03	91
G _{Ma}	63.07	-114.28	25.35	117.06	167
G50B _{Ma}	59.47	-80.6	-33.45	87.28	203
B _{Ma}	49.01	3.65	-81.19	81.28	273
B50R _{Ma}	44.06	106.09	-73.93	129.32	325
N _{Ma}	10.99	0.0	0.0	0.0	0
W _{Ma}	95.41	0.0	0.0	0.0	0
R _{CIE}	39.92	58.69	27.98	65.01	25
J _{CIE}	81.26	-2.9	71.56	71.62	92
G _{CIE}	52.23	-42.45	13.59	44.59	162
B _{CIE}	30.57	1.35	-46.48	46.51	272

CIELAB-Helligkeit L^*

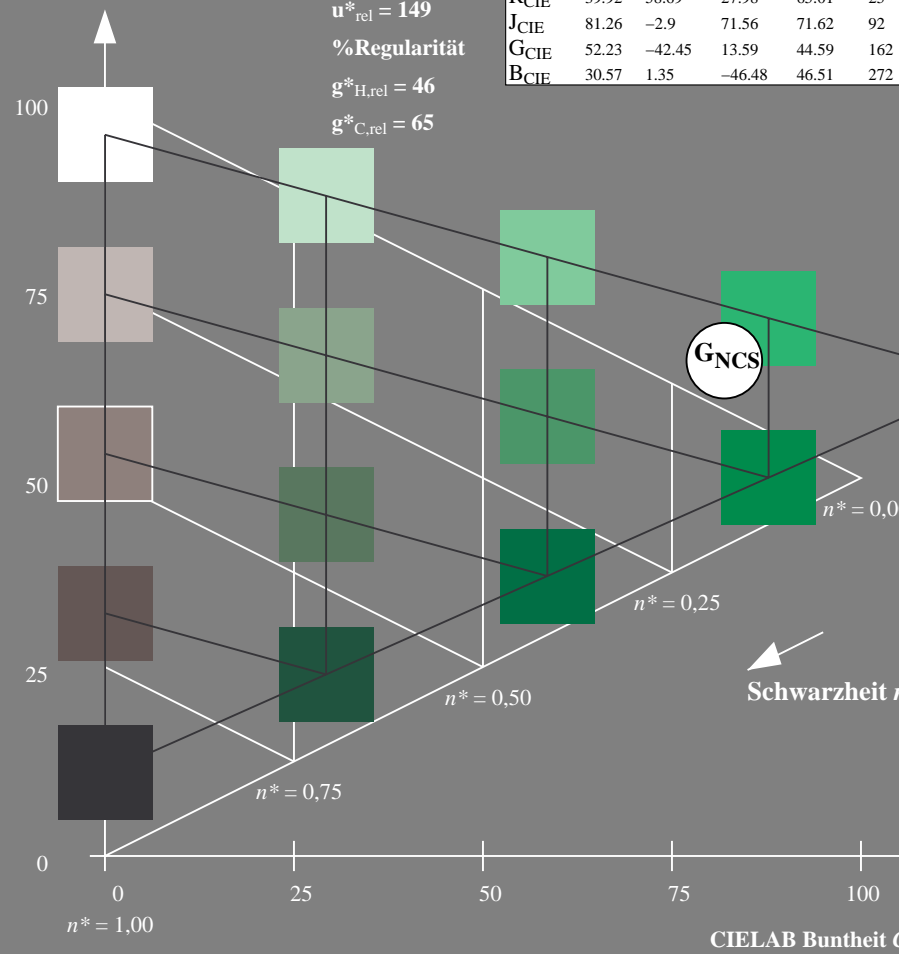
%Umfang

$u^*_{rel} = 149$

%Regularität

$g^*_{H,rel} = 46$

$g^*_{C,rel} = 65$



UG390-7, 5 stufige Reihen für konstanten CIELAB Buntton 167/360 = 0.465 (links)

BAM-Prüfvorlage UG39; Farbmimetrik-Systeme NCS11a & NCS11b

D65: Koordinaten-Systeme von 5stufigen Farbreihen für 10 Buntton

Ausgabe: Farbmimetrisches Reflexions-System NCS11

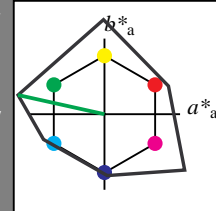
für Buntton $h^* = lab^*h = 167/360 = 0.465$

LAB*LCH, LAB*NCH

D65: Buntton G

LCH*Ma: 63 117 167

olv*Ma: 0.0 1.0 0.0



NCS11; adaptierte CIELAB-Daten

	$L^*=L^*_a$	a^*_a	b^*_a	$C^*_{ab,a}$	$h^*_{ab,a}$
R _{Ma}	47.15	84.64	37.25	92.48	24
J _{Ma}	91.37	-1.27	125.03	125.03	91
G _{Ma}	63.07	-114.28	25.35	117.06	167
G50B _{Ma}	59.47	-80.6	-33.45	87.28	203
B _{Ma}	49.01	3.65	-81.19	81.28	273
B50R _{Ma}	44.06	106.09	-73.93	129.32	325
N _{Ma}	10.99	0.0	0.0	0.0	0
W _{Ma}	95.41	0.0	0.0	0.0	0
R _{CIE}	39.92	58.69	27.98	65.01	25
J _{CIE}	81.26	-2.9	71.56	71.62	92
G _{CIE}	52.23	-42.45	13.59	44.59	162
B _{CIE}	30.57	1.35	-46.48	46.51	272

CIELAB-Helligkeit L^*

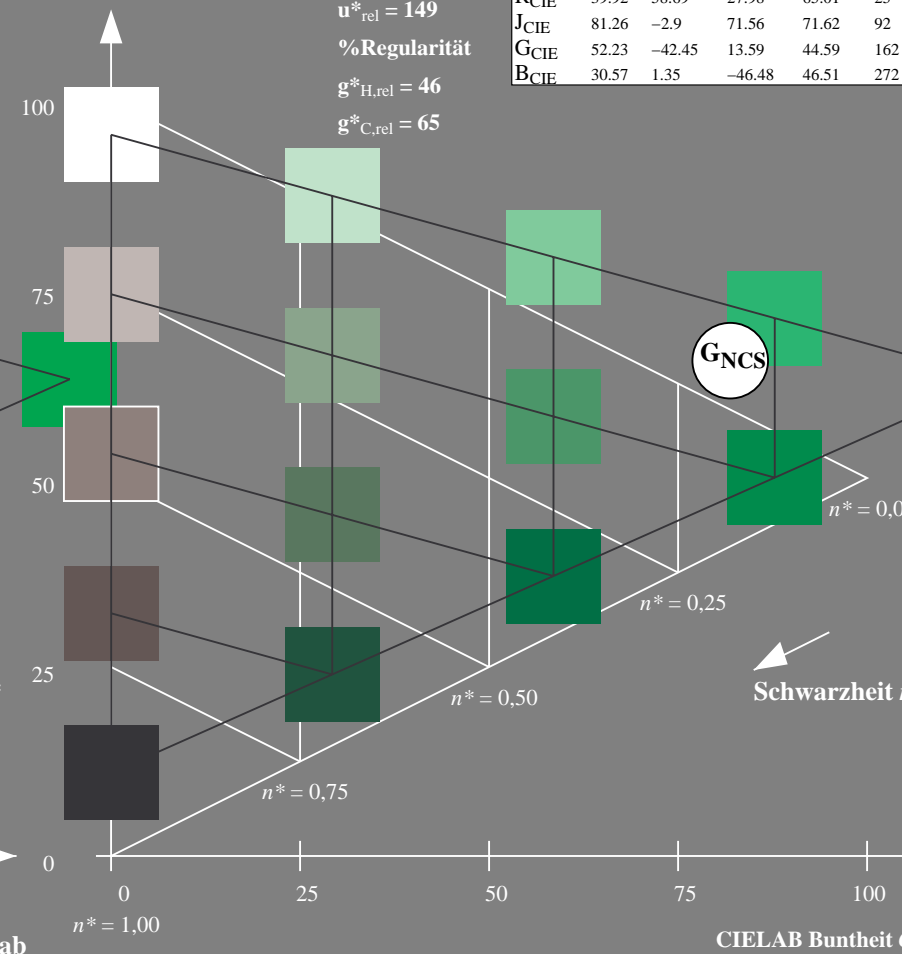
%Umfang

$u^*_{rel} = 149$

%Regularität

$g^*_{H,rel} = 46$

$g^*_{C,rel} = 65$



5 stufige Reihen für konstanten CIELAB Buntton 167/360 = 0.465 (rechts)

Input: $cmY0^* setcmykcolor$

Output: no change compared to input

Eingabe: Farbmimetrisches Reflexions-System NCS11

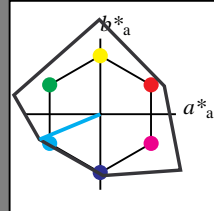
für Buntton $h^* = lab^*h = 203/360 = 0.563$

LAB*LCH, LAB*NCH

D65: Buntton G50B

LCH*Ma: 59 87 203

olv*Ma: 0.0 1.0 1.0



NCS11; adaptierte CIELAB-Daten					
	$L^*=L_a^*$	a_a^*	b_a^*	$C_{ab,a}^*$	$h_{ab,a}^*$
R _{Ma}	47.15	84.64	37.25	92.48	24
J _{Ma}	91.37	-1.27	125.03	125.03	91
G _{Ma}	63.07	-114.28	25.35	117.06	167
G50B _{Ma}	59.47	-80.6	-33.45	87.28	203
B _{Ma}	49.01	3.65	-81.19	81.28	273
B50R _{Ma}	44.06	106.09	-73.93	129.32	325
N _{Ma}	10.99	0.0	0.0	0.0	0
W _{Ma}	95.41	0.0	0.0	0.0	0
R _{CIE}	39.92	58.69	27.98	65.01	25
J _{CIE}	81.26	-2.9	71.56	71.62	92
G _{CIE}	52.23	-42.45	13.59	44.59	162
B _{CIE}	30.57	1.35	-46.48	46.51	272

CIELAB-Helligkeit L^*

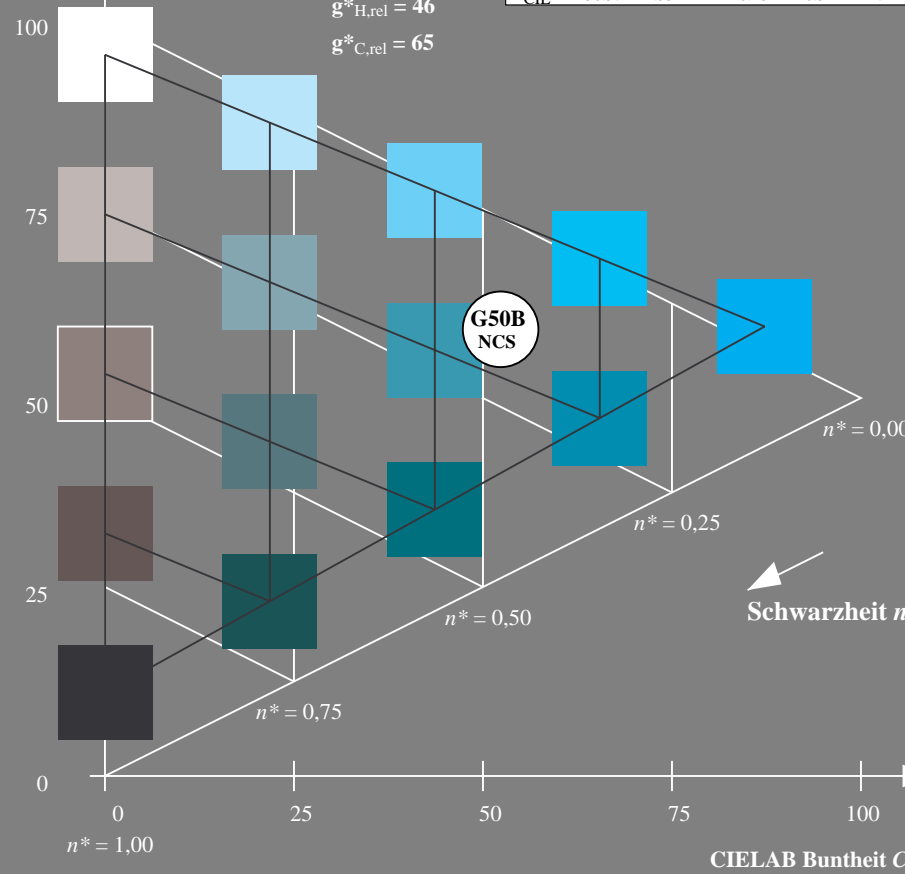
%Umfang

$u_{rel}^* = 149$

%Regularität

$g_{H,rel}^* = 46$

$g_{C,rel}^* = 65$



UG390-7, 5 stufige Reihen für konstanten CIELAB Buntton 203/360 = 0.563 (links)

BAM-Prüfvorlage UG39; Farbmimetrische Systeme NCS11a & NCS11b

D65: Koordinaten-Systeme von 5stufigen Farbreihen für 10 Bunttonen

Ausgabe: Farbmimetrisches Reflexions-System NCS11

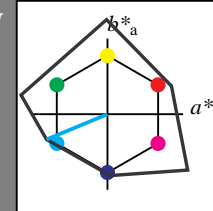
für Buntton $h^* = lab^*h = 203/360 = 0.563$

LAB*LCH, LAB*NCH

D65: Buntton G50B

LCH*Ma: 59 87 203

olv*Ma: 0.0 1.0 1.0



NCS11; adaptierte CIELAB-Daten					
	$L^*=L_a^*$	a_a^*	b_a^*	$C_{ab,a}^*$	$h_{ab,a}^*$
R _{Ma}	47.15	84.64	37.25	92.48	24
J _{Ma}	91.37	-1.27	125.03	125.03	91
G _{Ma}	63.07	-114.28	25.35	117.06	167
G50B _{Ma}	59.47	-80.6	-33.45	87.28	203
B _{Ma}	49.01	3.65	-81.19	81.28	273
B50R _{Ma}	44.06	106.09	-73.93	129.32	325
N _{Ma}	10.99	0.0	0.0	0.0	0
W _{Ma}	95.41	0.0	0.0	0.0	0
R _{CIE}	39.92	58.69	27.98	65.01	25
J _{CIE}	81.26	-2.9	71.56	71.62	92
G _{CIE}	52.23	-42.45	13.59	44.59	162
B _{CIE}	30.57	1.35	-46.48	46.51	272

CIELAB-Helligkeit L^*

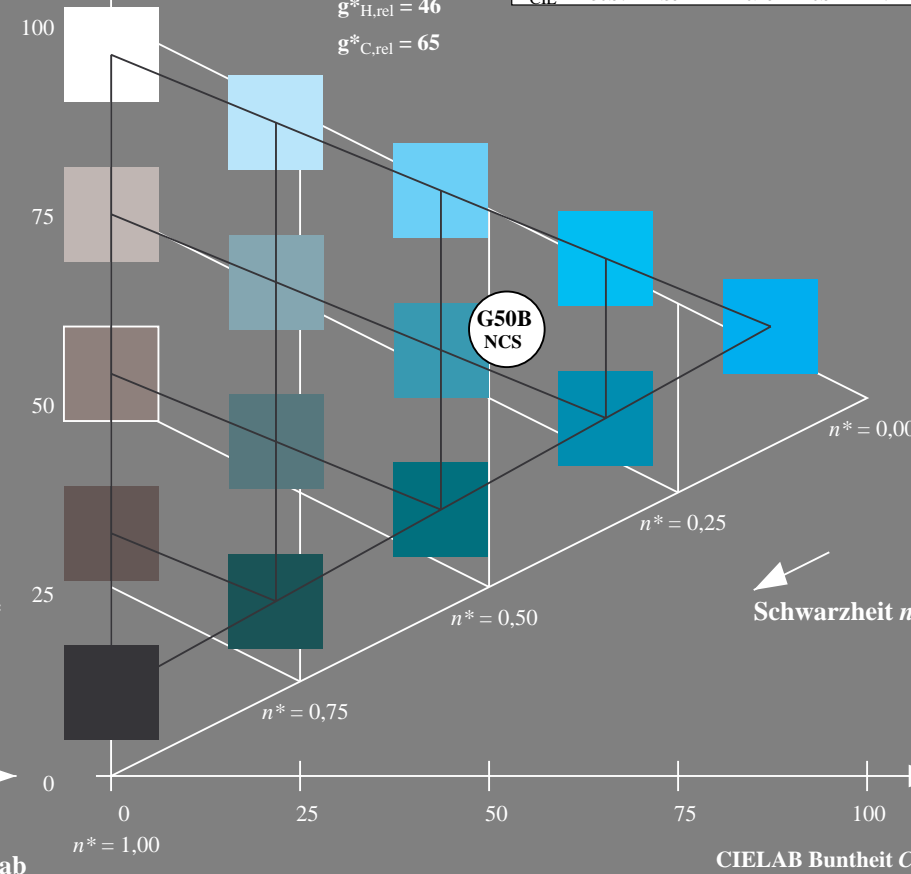
%Umfang

$u_{rel}^* = 149$

%Regularität

$g_{H,rel}^* = 46$

$g_{C,rel}^* = 65$



5 stufige Reihen für konstanten CIELAB Buntton 203/360 = 0.563 (rechts)

Input: cmy0* setcmykcolor

Output: no change compared to input

Eingabe: Farbmétrisches Reflexions-System NCS11

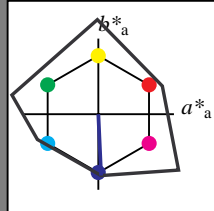
für Buntton $h^* = lab^*h = 273/360 = 0.757$

LAB*LCH, LAB*NCH

D65: Buntton B

LCH*Ma: 49 81 273

olv*Ma: 0.0 0.0 1.0



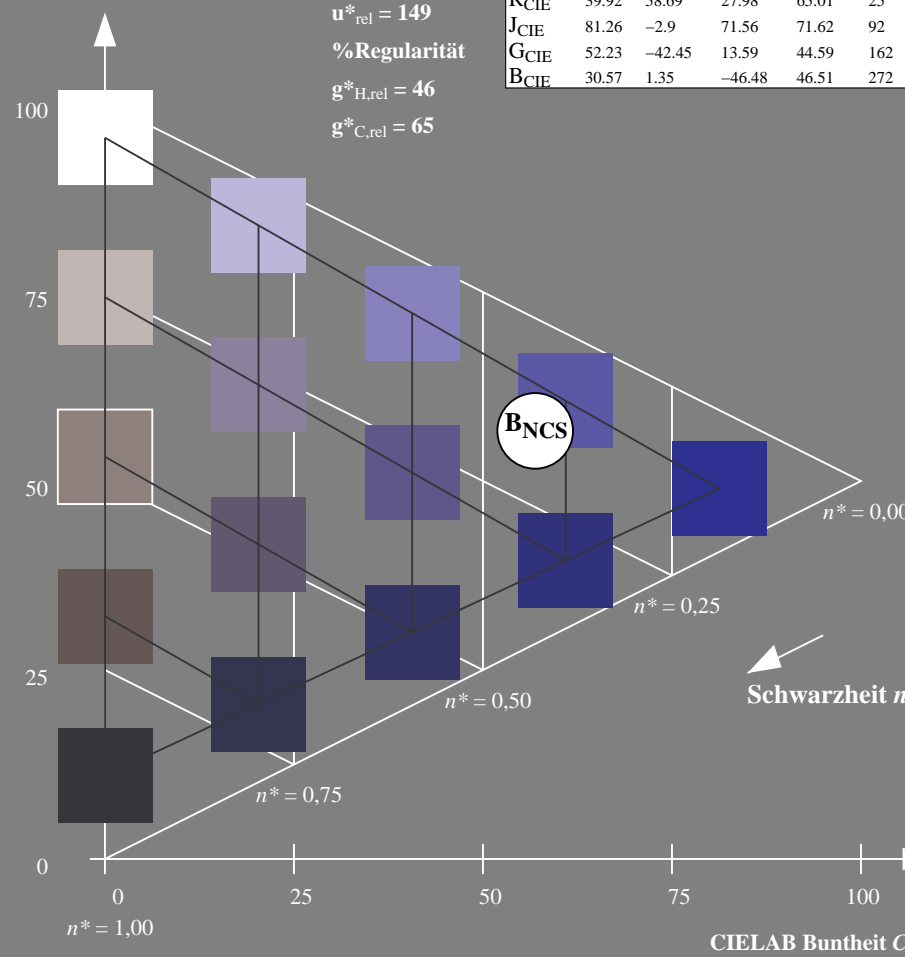
NCS11; adaptierte CIELAB-Daten					
	L^*_a	a^*_a	b^*_a	$C^*_{ab,a}$	$h^*_{ab,a}$
R _{Ma}	47.15	84.64	37.25	92.48	24
J _{Ma}	91.37	-1.27	125.03	125.03	91
G _{Ma}	63.07	-114.28	25.35	117.06	167
G50B _{Ma}	59.47	-80.6	-33.45	87.28	203
B _{Ma}	49.01	3.65	-81.19	81.28	273
B50R _{Ma}	44.06	106.09	-73.93	129.32	325
N _{Ma}	10.99	0.0	0.0	0.0	0
W _{Ma}	95.41	0.0	0.0	0.0	0
R _{CIE}	39.92	58.69	27.98	65.01	25
J _{CIE}	81.26	-2.9	71.56	71.62	92
G _{CIE}	52.23	-42.45	13.59	44.59	162
B _{CIE}	30.57	1.35	-46.48	46.51	272

CIE LAB-Helligkeit L^*

%Umfang

$$\mathbf{u}_{\text{rel}}^* = 149$$

%Regularität

$$g^*_{H,rel} = 46$$
$$g^*_{C,rel} = 65$$


UG390-7, 5 stufige Reihen für konstanten CIELAB Buntton $273/360 = 0.757$ (links)

BAM-Prüfvorlage UG39; Farbmimetrik-Systeme NCS11a & NCS1

D65: Koordinaten-Systeme von 5stufigen Farbreihen für 10 Bunt

Ausgabe: Farbmétrisches Reflexions-System NCS11

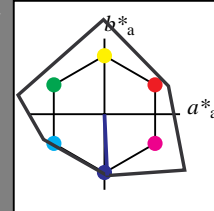
für Buntton $h^* = lab^*h = 273/360 = 0.757$

*LAB*LCH, LAB*NCH*

D65: Buntton B

LCH*Ma: 49 81 273

olv*Ma: 0.0 0.0 1.0



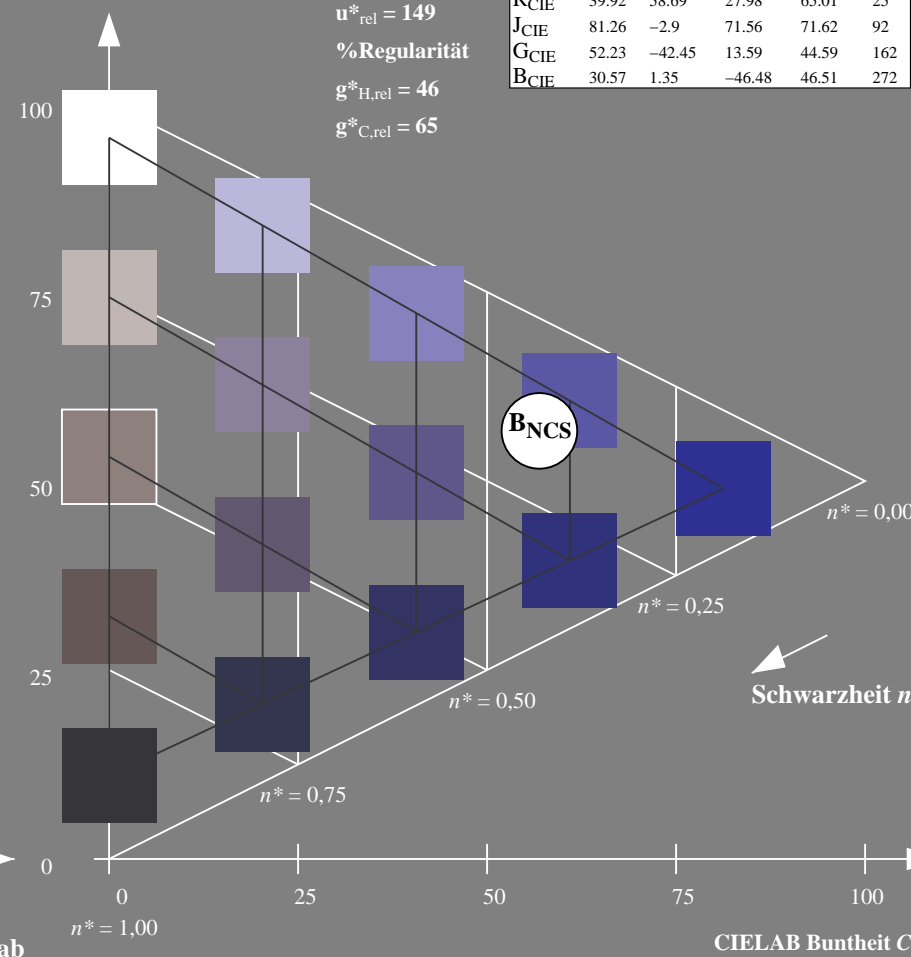
NCS11; adaptierte CIELAB-Daten					
	L^*_{a}	a^*_{a}	b^*_{a}	$C^*_{\text{ab,a}}$	h^*_{ab}
R _{Ma}	47.15	84.64	37.25	92.48	24
J _{Ma}	91.37	-1.27	125.03	125.03	91
G _{Ma}	63.07	-114.28	25.35	117.06	167
G50B _{Ma}	59.47	-80.6	-33.45	87.28	203
B _{Ma}	49.01	3.65	-81.19	81.28	273
B50R _{Ma}	44.06	106.09	-73.93	129.32	325
N _{Ma}	10.99	0.0	0.0	0.0	0
W _{Ma}	95.41	0.0	0.0	0.0	0
R _{CIE}	39.92	58.69	27.98	65.01	25
J _{CIE}	81.26	-2.9	71.56	71.62	92
G _{CIE}	52.23	-42.45	13.59	44.59	162
B _{CIE}	30.57	1.35	-46.48	46.51	272

CIELAB-Helligkeit L^*

%Umfang

$$\mathbf{u}_{\text{rel}}^* = 149$$

%Regularität

$$g^*_{H,rel} = 46$$
$$g^*_{C,rel} = 65$$
5 stufige Reihen für konstanten CIELAB Buntton $273/360 = 0.757$ (rechts)

```
1 input: cmy0* setcmykcolor
```

output: no change compared to input

Eingabe: Farbmimetrisches Reflexions-System NCS11

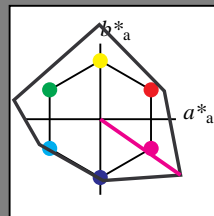
für Buntton $h^* = lab^*h = 325/360 = 0.903$

LAB*LCH, LAB*NCH

D65: Buntton B50R

LCH*Ma: 44 129 325

olv*Ma: 1.0 0.0 1.0



NCS11; adaptierte CIELAB-Daten					
	$L^*=L_a^*$	a_a^*	b_a^*	$C_{ab,a}^*$	$h_{ab,a}^*$
R _{Ma}	47.15	84.64	37.25	92.48	24
J _{Ma}	91.37	-1.27	125.03	125.03	91
G _{Ma}	63.07	-114.28	25.35	117.06	167
G50B _{Ma}	59.47	-80.6	-33.45	87.28	203
B _{Ma}	49.01	3.65	-81.19	81.28	273
B50R _{Ma}	44.06	106.09	-73.93	129.32	325
N _{Ma}	10.99	0.0	0.0	0.0	0
W _{Ma}	95.41	0.0	0.0	0.0	0
R _{CIE}	39.92	58.69	27.98	65.01	25
J _{CIE}	81.26	-2.9	71.56	71.62	92
G _{CIE}	52.23	-42.45	13.59	44.59	162
B _{CIE}	30.57	1.35	-46.48	46.51	272

CIELAB-Helligkeit L^*

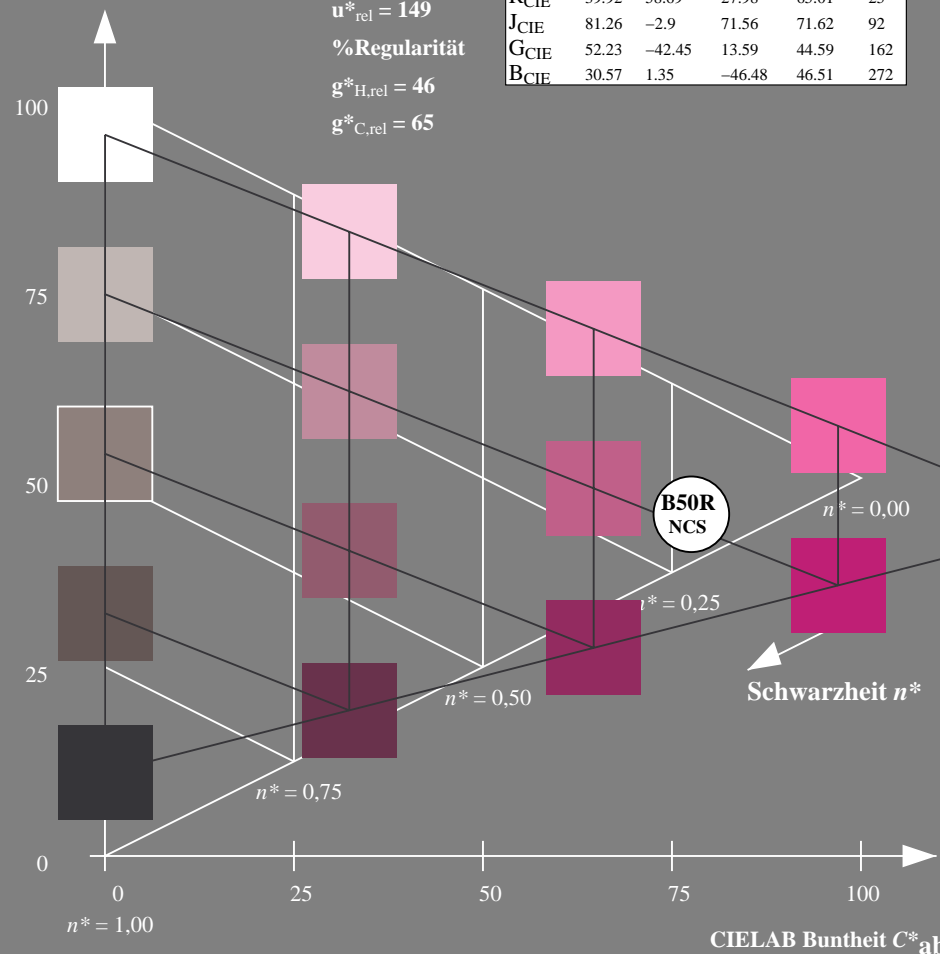
%Umfang

$u_{rel}^* = 149$

%Regularität

$g_{H,rel}^* = 46$

$g_{C,rel}^* = 65$



UG390-7, 5 stufige Reihen für konstanten CIELAB Buntton 325/360 = 0.903 (links)

BAM-Prüfvorlage UG39; Farbmimetrische Systeme NCS11a & NCS11

D65: Koordinaten-Systeme von 5stufigen Farbreihen für 10 Buntton

Ausgabe: Farbmimetrisches Reflexions-System NCS11

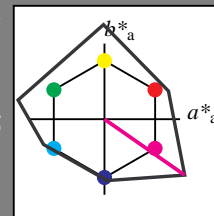
für Buntton $h^* = lab^*h = 325/360 = 0.903$

LAB*LCH, LAB*NCH

D65: Buntton B50R

LCH*Ma: 44 129 325

olv*Ma: 1.0 0.0 1.0



NCS11; adaptierte CIELAB-Daten					
	$L^*=L_a^*$	a_a^*	b_a^*	$C_{ab,a}^*$	$h_{ab,a}^*$
R _{Ma}	47.15	84.64	37.25	92.48	24
J _{Ma}	91.37	-1.27	125.03	125.03	91
G _{Ma}	63.07	-114.28	25.35	117.06	167
G50B _{Ma}	59.47	-80.6	-33.45	87.28	203
B _{Ma}	49.01	3.65	-81.19	81.28	273
B50R _{Ma}	44.06	106.09	-73.93	129.32	325
N _{Ma}	10.99	0.0	0.0	0.0	0
W _{Ma}	95.41	0.0	0.0	0.0	0
R _{CIE}	39.92	58.69	27.98	65.01	25
J _{CIE}	81.26	-2.9	71.56	71.62	92
G _{CIE}	52.23	-42.45	13.59	44.59	162
B _{CIE}	30.57	1.35	-46.48	46.51	272

CIELAB-Helligkeit L^*

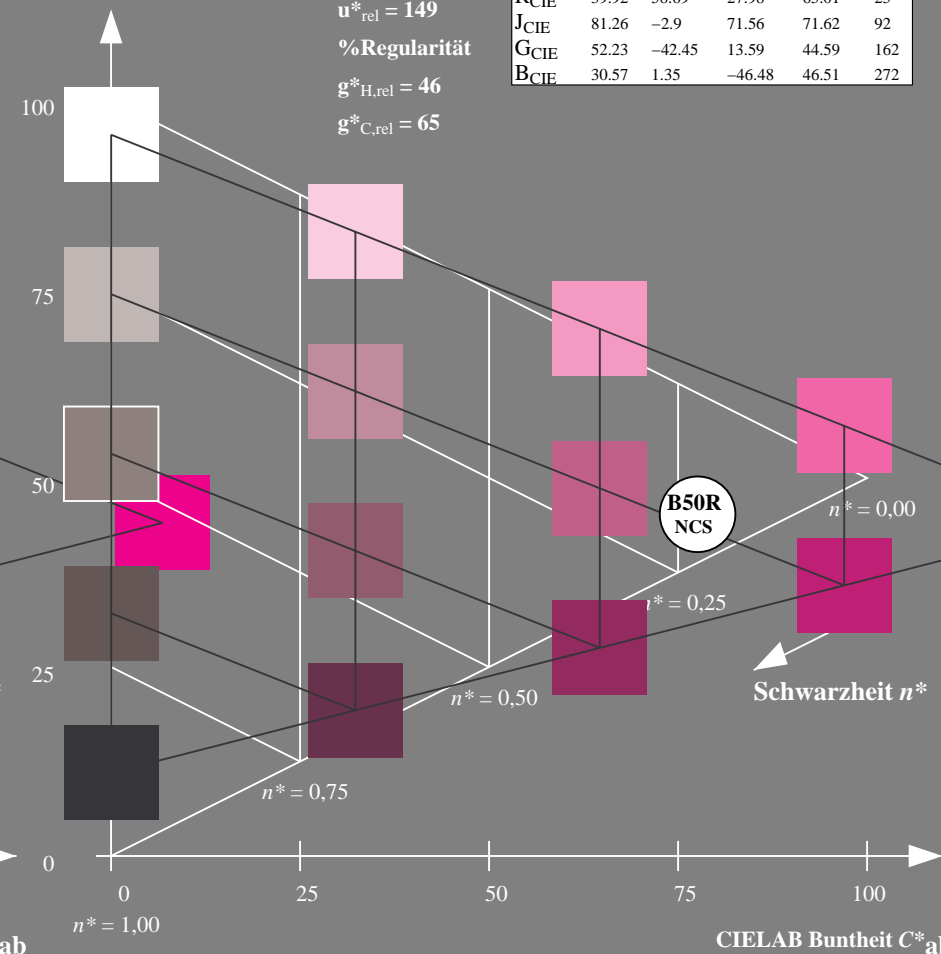
%Umfang

$u_{rel}^* = 149$

%Regularität

$g_{H,rel}^* = 46$

$g_{C,rel}^* = 65$



5 stufige Reihen für konstanten CIELAB Buntton 325/360 = 0.903 (rechts)

Input: $cmY^0 * setcmykcolor$

Output: no change compared to input

Eingabe: Farbmimetrisches Reflexions-System NCS11

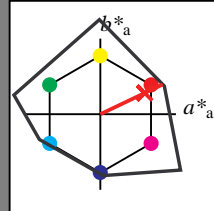
für Buntton $h^* = lab^*h = 25/360 = 0.071$

LAB*LCH, LAB*NCH

D65: Buntton R

LCH*Ma: 48 91 25

olv*Ma: 1.0 0.02 0.0



NCS11; adaptierte CIELAB-Daten

	$L^*=L_a^*$	a_a^*	b_a^*	$C_{ab,a}^*$	$h_{ab,a}^*$
R _{Ma}	47.15	84.64	37.25	92.48	24
J _{Ma}	91.37	-1.27	125.03	125.03	91
G _{Ma}	63.07	-114.28	25.35	117.06	167
G50B _{Ma}	59.47	-80.6	-33.45	87.28	203
B _{Ma}	49.01	3.65	-81.19	81.28	273
B50R _{Ma}	44.06	106.09	-73.93	129.32	325
N _{Ma}	10.99	0.0	0.0	0.0	0
W _{Ma}	95.41	0.0	0.0	0.0	0
R _{CIE}	39.92	58.69	27.98	65.01	25
J _{CIE}	81.26	-2.9	71.56	71.62	92
G _{CIE}	52.23	-42.45	13.59	44.59	162
B _{CIE}	30.57	1.35	-46.48	46.51	272

CIELAB-Helligkeit L^*

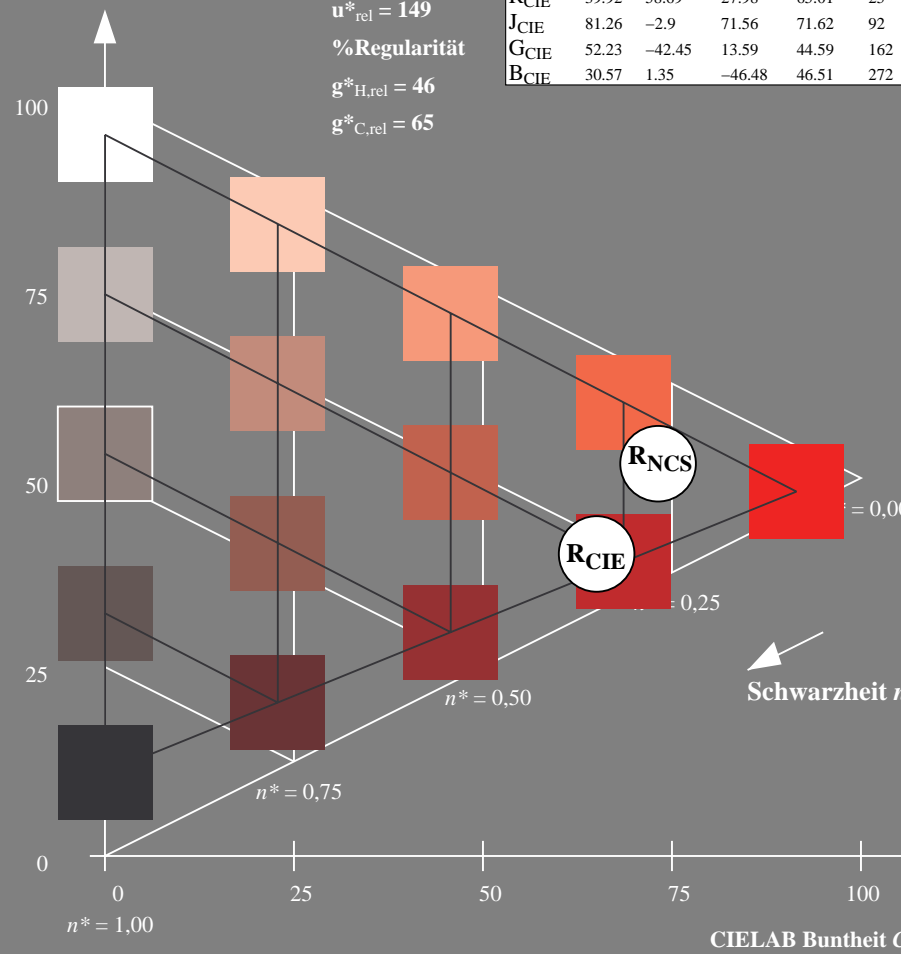
%Umfang

$u_{rel}^* = 149$

%Regularität

$g_{H,rel}^* = 46$

$g_{C,rel}^* = 65$



UG390-7, 5 stufige Reihen für konstanten CIELAB Buntton 25/360 = 0.071 (links)

BAM-Prüfvorlage UG39; Farbmimetrik-Systeme NCS11a & NCS11b

D65: Koordinaten-Systeme von 5stufigen Farbreihen für 10 Bunttonen

Ausgabe: Farbmimetrisches Reflexions-System NCS11

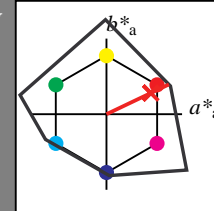
für Buntton $h^* = lab^*h = 25/360 = 0.071$

LAB*LCH, LAB*NCH

D65: Buntton R

LCH*Ma: 48 91 25

olv*Ma: 1.0 0.02 0.0



NCS11; adaptierte CIELAB-Daten

	$L^*=L_a^*$	a_a^*	b_a^*	$C_{ab,a}^*$	$h_{ab,a}^*$
R _{Ma}	47.15	84.64	37.25	92.48	24
J _{Ma}	91.37	-1.27	125.03	125.03	91
G _{Ma}	63.07	-114.28	25.35	117.06	167
G50B _{Ma}	59.47	-80.6	-33.45	87.28	203
B _{Ma}	49.01	3.65	-81.19	81.28	273
B50R _{Ma}	44.06	106.09	-73.93	129.32	325
N _{Ma}	10.99	0.0	0.0	0.0	0
W _{Ma}	95.41	0.0	0.0	0.0	0
R _{CIE}	39.92	58.69	27.98	65.01	25
J _{CIE}	81.26	-2.9	71.56	71.62	92
G _{CIE}	52.23	-42.45	13.59	44.59	162
B _{CIE}	30.57	1.35	-46.48	46.51	272

CIELAB-Helligkeit L^*

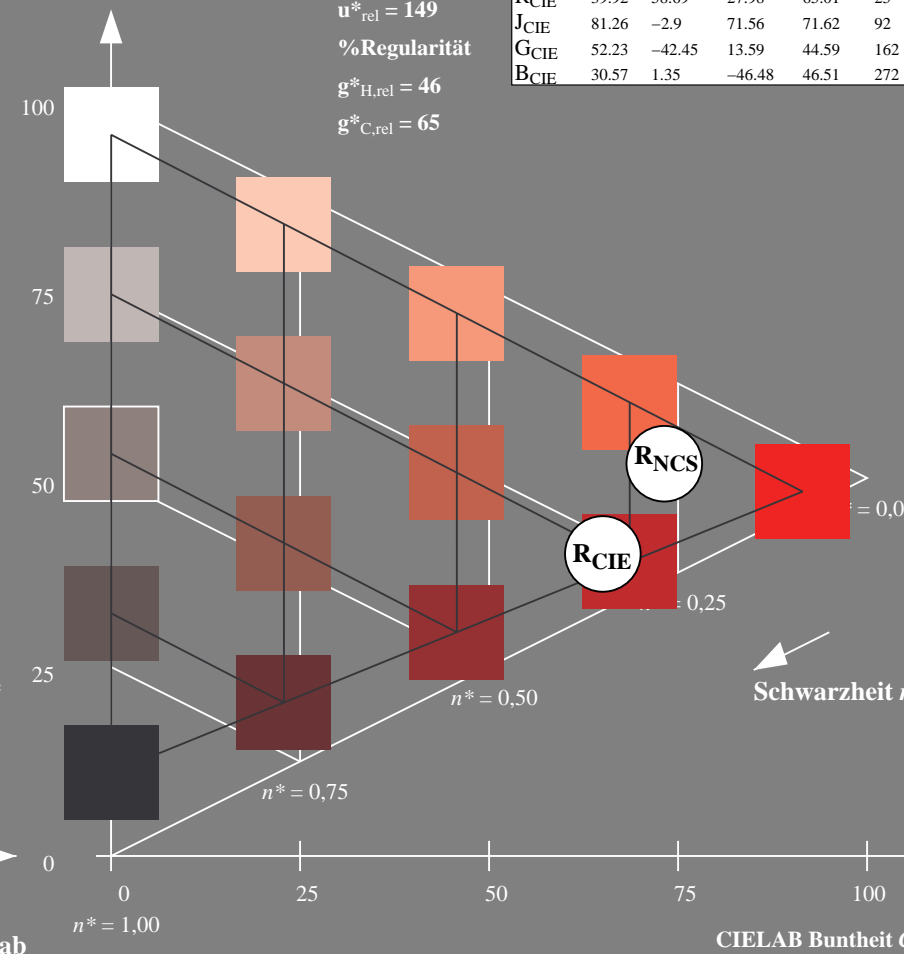
%Umfang

$u_{rel}^* = 149$

%Regularität

$g_{H,rel}^* = 46$

$g_{C,rel}^* = 65$



5 stufige Reihen für konstanten CIELAB Buntton 25/360 = 0.071 (rechts)

Input: $cmY0^* setcmykcolor$

Output: no change compared to input

Eingabe: Farbmimetrisches Reflexions-System NCS11

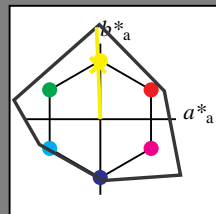
für Buntton $h^* = lab \cdot h = 92/360 = 0.256$

LAB*LCH, LAB*NCH

D65: Buntton J

LCH*Ma: 90 122 92

olv*Ma: 0.97 1.0 0.0



NCS11; adaptierte CIELAB-Daten

	$L^*=L^*_a$	a^*_a	b^*_a	$C^*_{ab,a}$	$h^*_{ab,a}$
R _{Ma}	47.15	84.64	37.25	92.48	24
J _{Ma}	91.37	-1.27	125.03	125.03	91
G _{Ma}	63.07	-114.28	25.35	117.06	167
G50B _{Ma}	59.47	-80.6	-33.45	87.28	203
B _{Ma}	49.01	3.65	-81.19	81.28	273
B50R _{Ma}	44.06	106.09	-73.93	129.32	325
N _{Ma}	10.99	0.0	0.0	0.0	0
W _{Ma}	95.41	0.0	0.0	0.0	0
R _{CIE}	39.92	58.69	27.98	65.01	25
J _{CIE}	81.26	-2.9	71.56	71.62	92
G _{CIE}	52.23	-42.45	13.59	44.59	162
B _{CIE}	30.57	1.35	-46.48	46.51	272

CIELAB-Helligkeit L^*

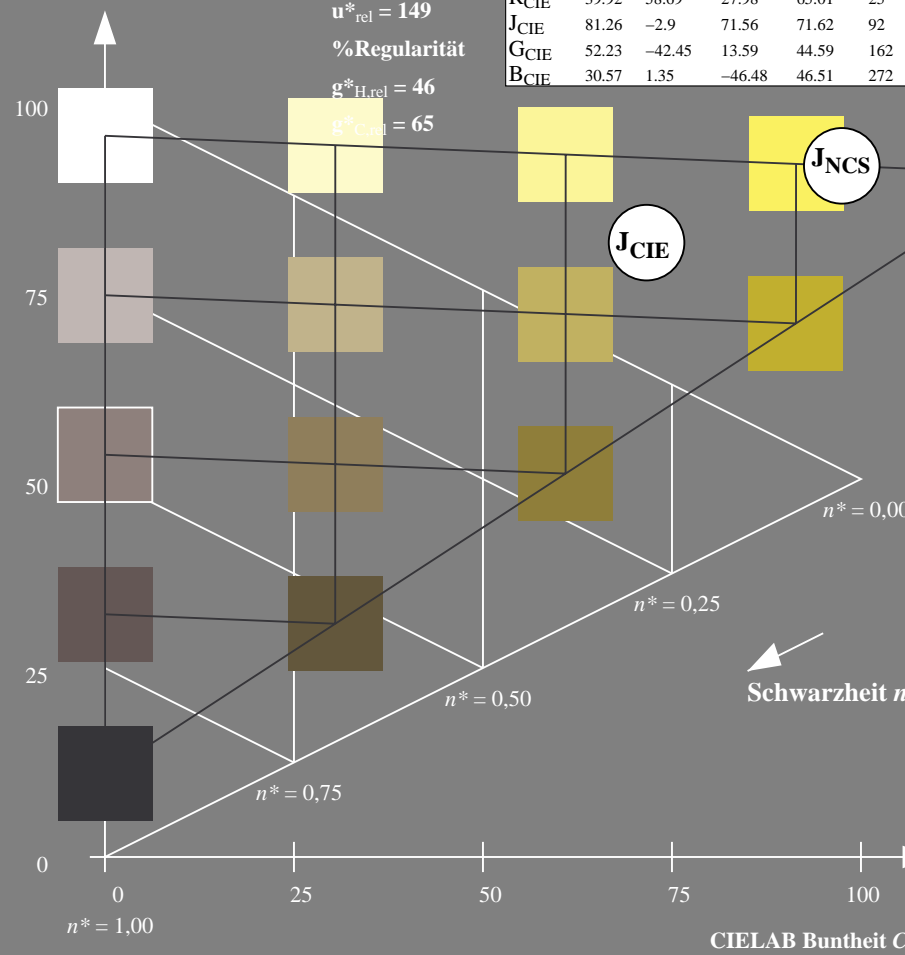
%Umfang

$u^*_{rel} = 149$

%Regularität

$g^*_{H,rel} = 46$

$g^*_{C,rel} = 65$



UG390-7, 5 stufige Reihen für konstanten CIELAB Buntton 92/360 = 0.256 (links)

BAM-Prüfvorlage UG39; Farbmimetrik-Systeme NCS11a & NCS11b

D65: Koordinaten-Systeme von 5stufigen Farbreihen für 10 Bunttonen

Ausgabe: Farbmimetrisches Reflexions-System NCS11

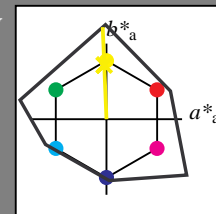
für Buntton $h^* = lab \cdot h = 92/360 = 0.256$

LAB*LCH, LAB*NCH

D65: Buntton J

LCH*Ma: 90 122 92

olv*Ma: 0.97 1.0 0.0



NCS11; adaptierte CIELAB-Daten

	$L^*=L^*_a$	a^*_a	b^*_a	$C^*_{ab,a}$	$h^*_{ab,a}$
R _{Ma}	47.15	84.64	37.25	92.48	24
J _{Ma}	91.37	-1.27	125.03	125.03	91
G _{Ma}	63.07	-114.28	25.35	117.06	167
G50B _{Ma}	59.47	-80.6	-33.45	87.28	203
B _{Ma}	49.01	3.65	-81.19	81.28	273
B50R _{Ma}	44.06	106.09	-73.93	129.32	325
N _{Ma}	10.99	0.0	0.0	0.0	0
W _{Ma}	95.41	0.0	0.0	0.0	0
R _{CIE}	39.92	58.69	27.98	65.01	25
J _{CIE}	81.26	-2.9	71.56	71.62	92
G _{CIE}	52.23	-42.45	13.59	44.59	162
B _{CIE}	30.57	1.35	-46.48	46.51	272

CIELAB-Helligkeit L^*

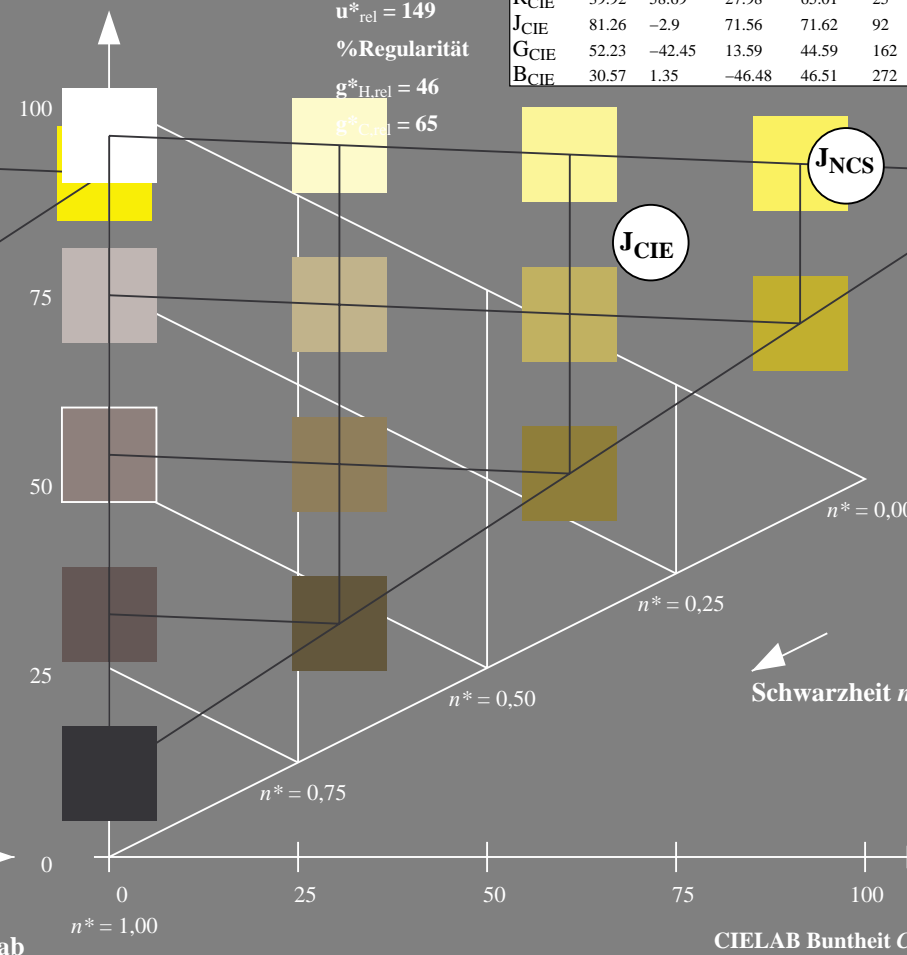
%Umfang

$u^*_{rel} = 149$

%Regularität

$g^*_{H,rel} = 46$

$g^*_{C,rel} = 65$



5 stufige Reihen für konstanten CIELAB Buntton 92/360 = 0.256 (rechts)

Input: $cmY0^* setcmykcolor$

Output: no change compared to input

Eingabe: Farbmimetrisches Reflexions-System NCS11

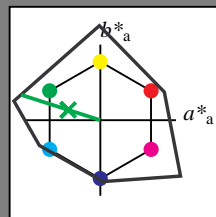
für Buntton $h^* = lab \cdot h = 162/360 = 0.451$

LAB*LCH, LAB*NCH

D65: Buntton G

LCH*Ma: 65 110 162

olv*Ma: 0.08 1.0 0.0



NCS11; adaptierte CIELAB-Daten

	$L^* = L^*_a$	a^*_a	b^*_a	$C^*_{ab,a}$	$h^*_{ab,a}$
R _{Ma}	47.15	84.64	37.25	92.48	24
J _{Ma}	91.37	-1.27	125.03	125.03	91
G _{Ma}	63.07	-114.28	25.35	117.06	167
G50B _{Ma}	59.47	-80.6	-33.45	87.28	203
B _{Ma}	49.01	3.65	-81.19	81.28	273
B50R _{Ma}	44.06	106.09	-73.93	129.32	325
N _{Ma}	10.99	0.0	0.0	0.0	0
W _{Ma}	95.41	0.0	0.0	0.0	0
R _{CIE}	39.92	58.69	27.98	65.01	25
J _{CIE}	81.26	-2.9	71.56	71.62	92
G _{CIE}	52.23	-42.45	13.59	44.59	162
B _{CIE}	30.57	1.35	-46.48	46.51	272

CIELAB-Helligkeit L^*

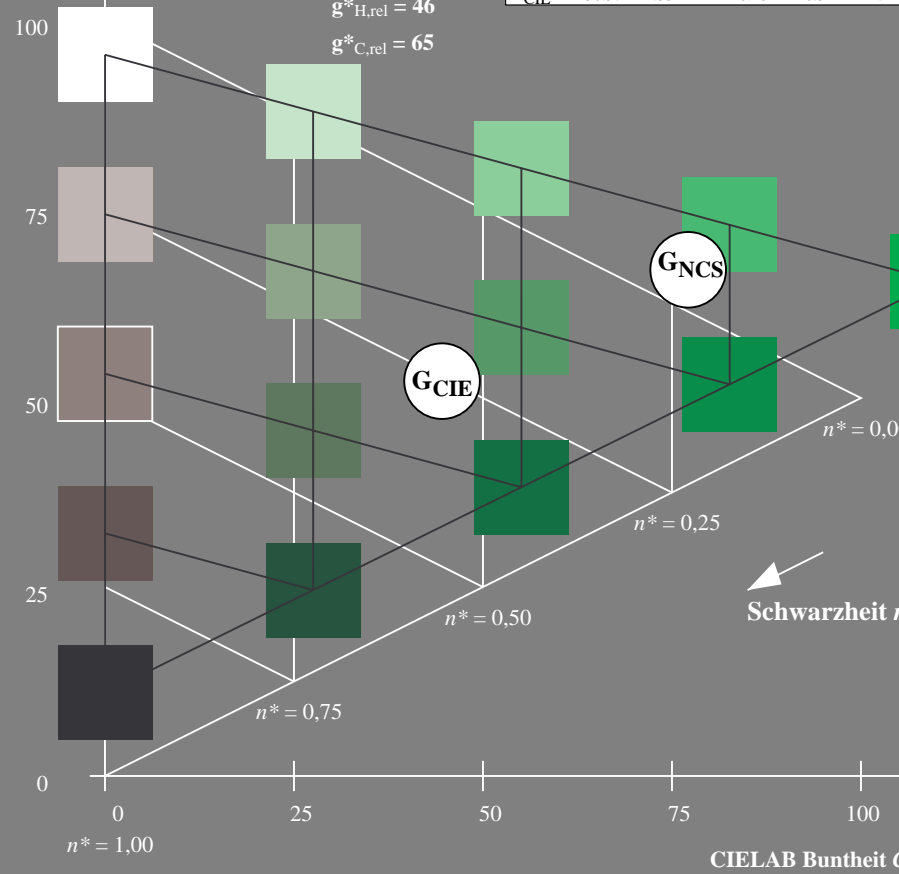
%Umfang

$u^*_{rel} = 149$

%Regularität

$g^*_{H,rel} = 46$

$g^*_{C,rel} = 65$



UG390-7, 5 stufige Reihen für konstanten CIELAB Buntton $162/360 = 0.451$ (links)

BAM-Prüfvorlage UG39; Farbmimetrik-Systeme NCS11a & NCS11b

D65: Koordinaten-Systeme von 5stufigen Farbreihen für 10 Buntton

Ausgabe: Farbmimetrisches Reflexions-System NCS11

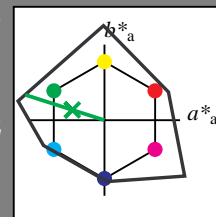
für Buntton $h^* = lab \cdot h = 162/360 = 0.451$

LAB*LCH, LAB*NCH

D65: Buntton G

LCH*Ma: 65 110 162

olv*Ma: 0.08 1.0 0.0



NCS11; adaptierte CIELAB-Daten

	$L^* = L^*_a$	a^*_a	b^*_a	$C^*_{ab,a}$	$h^*_{ab,a}$
R _{Ma}	47.15	84.64	37.25	92.48	24
J _{Ma}	91.37	-1.27	125.03	125.03	91
G _{Ma}	63.07	-114.28	25.35	117.06	167
G50B _{Ma}	59.47	-80.6	-33.45	87.28	203
B _{Ma}	49.01	3.65	-81.19	81.28	273
B50R _{Ma}	44.06	106.09	-73.93	129.32	325
N _{Ma}	10.99	0.0	0.0	0.0	0
W _{Ma}	95.41	0.0	0.0	0.0	0
R _{CIE}	39.92	58.69	27.98	65.01	25
J _{CIE}	81.26	-2.9	71.56	71.62	92
G _{CIE}	52.23	-42.45	13.59	44.59	162
B _{CIE}	30.57	1.35	-46.48	46.51	272

CIELAB-Helligkeit L^*

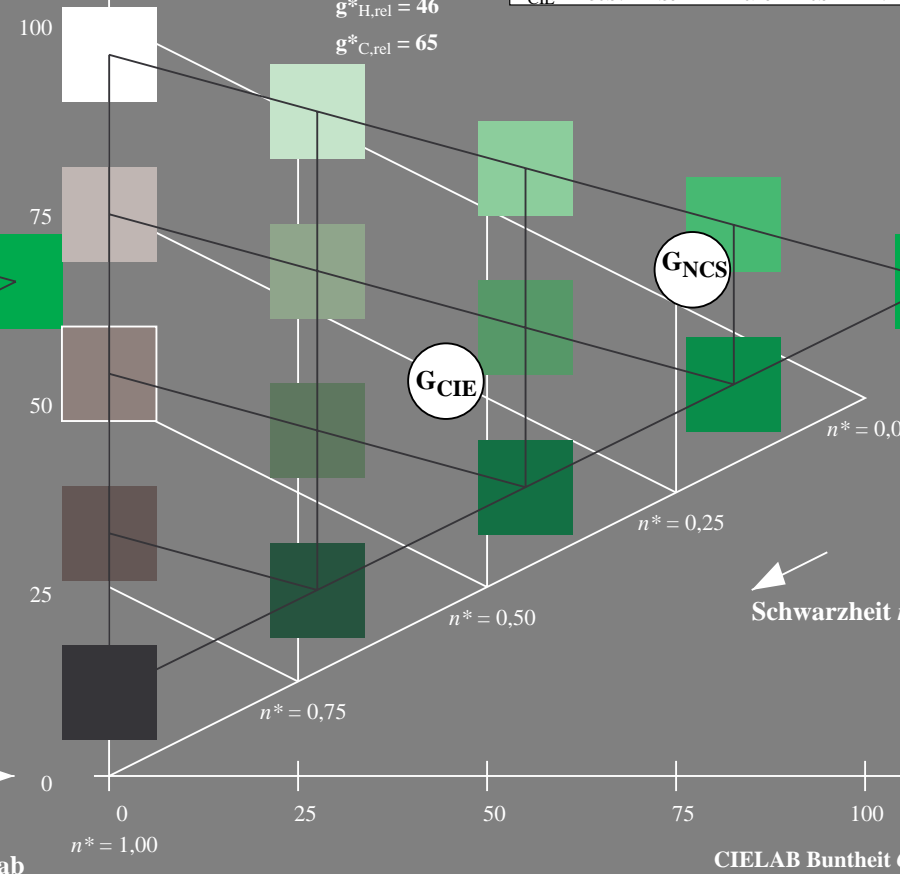
%Umfang

$u^*_{rel} = 149$

%Regularität

$g^*_{H,rel} = 46$

$g^*_{C,rel} = 65$



5 stufige Reihen für konstanten CIELAB Buntton $162/360 = 0.451$ (rechts)

Input: $cmY0^* setcmykcolor$

Output: no change compared to input

Eingabe: Farbmimetrisches Reflexions-System NCS11

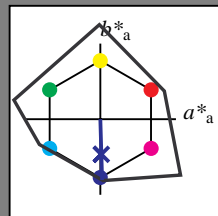
für Buntton $h^* = lab^*h = 272/360 = 0.755$

LAB*LCH, LAB*NCH

D65: Buntton B

LCH*Ma: 49 80 272

olv*Ma: 0.0 0.02 1.0



NCS11; adaptierte CIELAB-Daten					
	$L^*=L_a^*$	a_a^*	b_a^*	$C_{ab,a}^*$	$h_{ab,a}^*$
R _{Ma}	47.15	84.64	37.25	92.48	24
J _{Ma}	91.37	-1.27	125.03	125.03	91
G _{Ma}	63.07	-114.28	25.35	117.06	167
G50B _{Ma}	59.47	-80.6	-33.45	87.28	203
B _{Ma}	49.01	3.65	-81.19	81.28	273
B50R _{Ma}	44.06	106.09	-73.93	129.32	325
N _{Ma}	10.99	0.0	0.0	0.0	0
W _{Ma}	95.41	0.0	0.0	0.0	0
R _{CIE}	39.92	58.69	27.98	65.01	25
J _{CIE}	81.26	-2.9	71.56	71.62	92
G _{CIE}	52.23	-42.45	13.59	44.59	162
B _{CIE}	30.57	1.35	-46.48	46.51	272

CIELAB-Helligkeit L^*

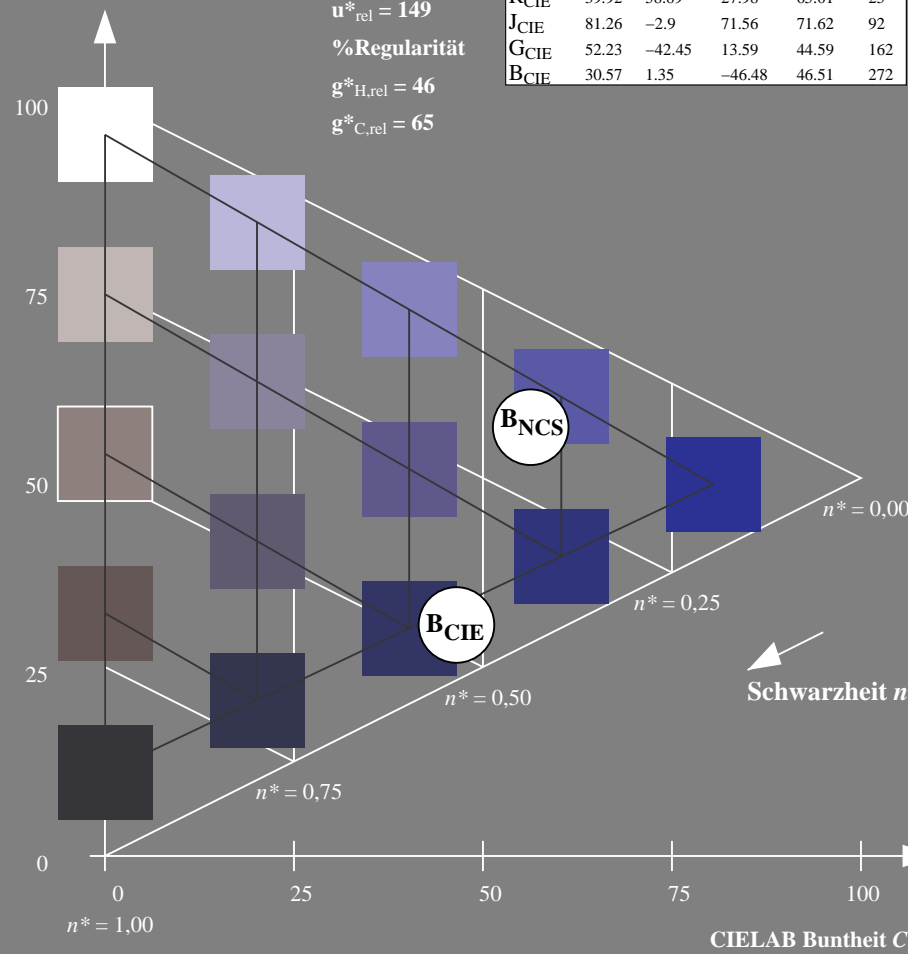
%Umfang

$u_{rel}^* = 149$

%Regularität

$g_{H,rel}^* = 46$

$g_{C,rel}^* = 65$



UG390-7, 5 stufige Reihen für konstanten CIELAB Buntton $272/360 = 0.755$ (links)

Ausgabe: Farbmimetrisches Reflexions-System NCS11

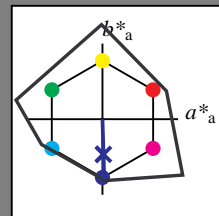
für Buntton $h^* = lab^*h = 272/360 = 0.755$

LAB*LCH, LAB*NCH

D65: Buntton B

LCH*Ma: 49 80 272

olv*Ma: 0.0 0.02 1.0



NCS11; adaptierte CIELAB-Daten					
	$L^*=L_a^*$	a_a^*	b_a^*	$C_{ab,a}^*$	$h_{ab,a}^*$
R _{Ma}	47.15	84.64	37.25	92.48	24
J _{Ma}	91.37	-1.27	125.03	125.03	91
G _{Ma}	63.07	-114.28	25.35	117.06	167
G50B _{Ma}	59.47	-80.6	-33.45	87.28	203
B _{Ma}	49.01	3.65	-81.19	81.28	273
B50R _{Ma}	44.06	106.09	-73.93	129.32	325
N _{Ma}	10.99	0.0	0.0	0.0	0
W _{Ma}	95.41	0.0	0.0	0.0	0
R _{CIE}	39.92	58.69	27.98	65.01	25
J _{CIE}	81.26	-2.9	71.56	71.62	92
G _{CIE}	52.23	-42.45	13.59	44.59	162
B _{CIE}	30.57	1.35	-46.48	46.51	272

CIELAB-Helligkeit L^*

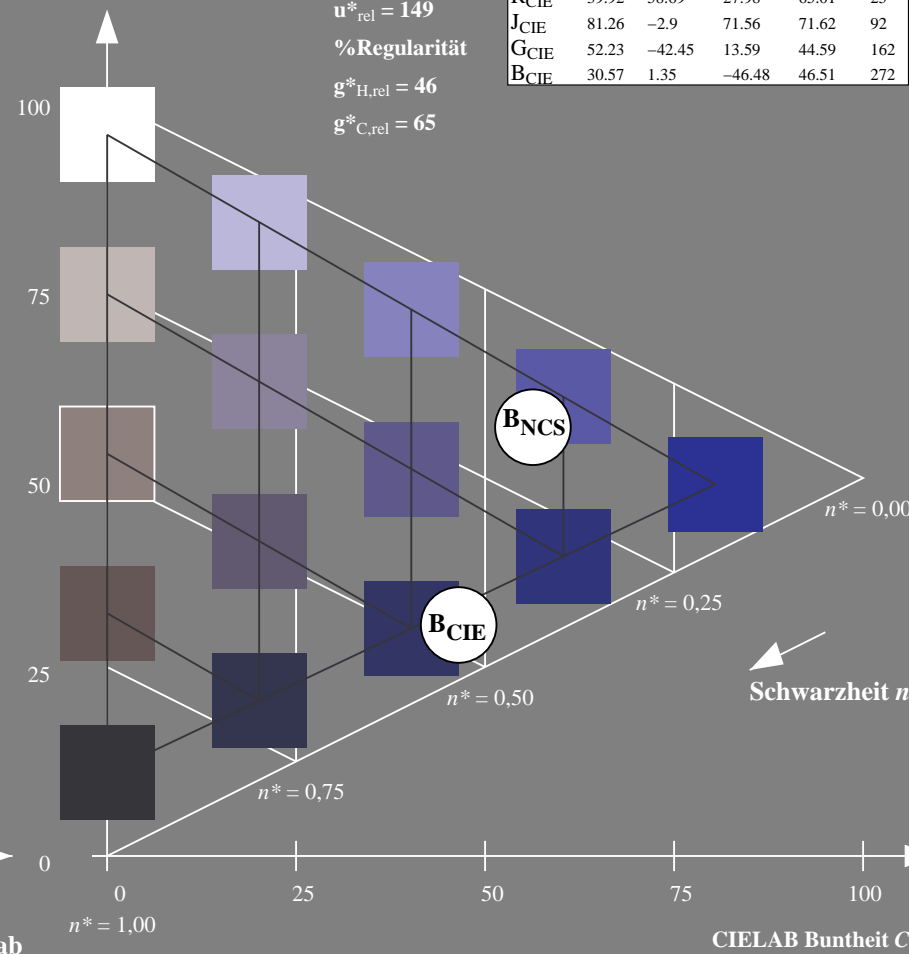
%Umfang

$u_{rel}^* = 149$

%Regularität

$g_{H,rel}^* = 46$

$g_{C,rel}^* = 65$



5 stufige Reihen für konstanten CIELAB Buntton $272/360 = 0.755$ (rechts)

BAM-Prüfvorlage UG39; Farbmimetrische Systeme NCS11a & NCS11b

D65: Koordinaten-Systeme von 5stufigen Farbreihen für 10 Bunttonen
Input: $cmY^0 * setcmykcolor$
Output: no change compared to input